

# 彈性地盤上의 平板解析에 있어서 影響領域의 配分

Distribution of Influence Area in the Analysis of Plates on Elastic Foundations

金	聲	得*
Kim,	Sung	Deuk
申	永	琦**
Shin,	Yung	Kee

## Abstract

In this paper, the analysis of plates resting on Winkler's springs and on an isotropic elastic half space is made by the finite element method using an isoparametric element.

A new technique is introduced to calculate the numerical values of influence area for the soil element. A computer program NMAT has been developed and checked through demonstrating examples.

## 要旨

Winkler 地盤과 等方性 半無限 彈性體 위에 놓인 平板을 Isoparametric 要素를 使用한 有限要素法으로 解析하였다.

地盤要素의 影響領域을 數值的으로 計算하는 새로운 技法을 導入하였고, 컴퓨터프로그램 NMAT 를 開發하였으며 이 프로그램은 많은 例題를 통해 檢討되었다.

## 1. 序論

많은 구조물이 地盤위에 축조된 基礎 위에 만 들어지고 있는데, 이에 대한 解析은 계산의 편의상 지반 및 기초와 상부구조를 분리해서 행해져 왔다. 그러나 상부구조가 外的으로 不靜定일 때는 外力이 작용하면 그 구조물내의 應力은 지반의 變形의 영향을 받으며, 기초의 應力分布는 구조물과 기초의 相對剛度(relative stiffness)의 영향을 받기 때문에 地盤—基礎—構造 사이의 相互影響(interaction)을 고려한 一體의인 해

석방법이 요구된다. 이를 위해서는 지반상의 구조물에 대한 효과적인 모델化가 필요하게 되는데 이에 관한 연구가 이미 많이 수행되어 왔다<sup>(1, 2, 3)</sup>.

굴뚝, 탑, 사일로우, 원자력발전소, 건축물 등이 彈性地盤上의 매트基礎 위에 축조되고 있는데, 이 매트기초는 그림 1에서 보는 바와 같이 여러 개의 要素로 된 平板과 그것을 받치고 있는 지반으로 나누어서 생각할 수 있다. 잘 알려져 있는 平板理論과 地盤모델을 기초로 하여서 양자의 상호영향을 고려한 문제를 다루기로 한다.

\*正會員·서울大學校 大學院 博士課程, 莊山大學校 副教授

\*\*參與會員·서울大學校 工科大學 教授

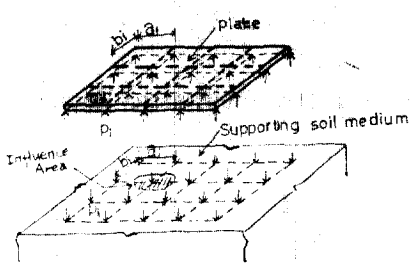


그림 1. Finite element analysis model of a plate resting on an elastic soil medium

지반의 모델화에 대해서 여러가지 측면에서 조사한 바 Winkler 지반과 Boussinesq 지반으로 대별할 수 있는 바, 지반을 단순한 수식으로 표현하는 前者가 일반적으로 널리 이용되고 있으나 地盤反力係數의 크기를 정확하게 나타내기 어렵고 특히 剛性이 매우 큰 지반에 대해서는 그 거동의 표현에 難點이 있는 실정이며, 지반의 非線型거동을 무시했을 때 後者로 대표되는 半無限彈性體(half-space)지반이 적절하며 이러한 모델에 대해서 有限要素法에 의한 數值解析을 다루기로 한다.

이제 Cheung 및 Zienkiewicz 가 發表한 「有限要素法에 依한 弹性地盤上의 平板 및 テンク」의 연구<sup>(4)</sup>를 기초로 하여 要素의 각 변이 직선 뿐만 아니라 2차 및 3차 곡선으로 될 수 있어서 어떤 형태의 경계에서도 기하학적으로 잘 근사될 수 있고 形狀函數를 직관적으로 구할 수 있는 8節點의 Isoparametric 要素를<sup>(5)</sup> 사용하여 탄성지반상의平板을 解析하고자 한다.

그리고 본인이 이미 發表한 프로그램 MATK 를<sup>(6)</sup> 기초로 하여서 基礎低板 아래의 절점당 영향을 미치는 지반요소의 領域을 수치적으로 구하고 또 소개된 影響係數를 중심으로 여러 가지 비교분석을 할 수 있는 補完된 프로그램 NMAT 를 소개하며, 이 프로그램을 통해 많은 例題를 해석해보며 나아가서는 Winkler 지반과 Boussinesq 지반의 관계식을導出코자 한다.

## 2. 基本理論

### 2.1 平板理論

그림 2와 같은 8 절점의 Isoparametric 要素

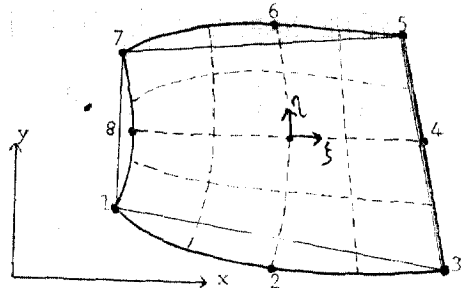


그림 2. Isoparametric element-8 node

를 사용한 平板理論<sup>(7)</sup>을 略述하고자 한다.

요소내의 임의 점에서의 변위는 절점에서의 변위와 형상함수로 나타낸다.

$$\left. \begin{aligned} N_i(\xi, \eta) &= \frac{1}{4}(1+\xi_0)(1+\eta_0)(\xi_0+\eta_0-1) \\ N_i(\xi, \eta) &= \frac{1}{2}(1-\xi^2)(1+\eta_0), \quad (i=2, 6) \\ N_i(\xi, \eta) &= \frac{1}{2}(1+\xi_0)(1-\eta^2), \quad (i=4, 8) \end{aligned} \right\} \quad (1)$$

단,  $\xi_0 = \xi \xi_i$ ,  $\eta_0 = \eta \eta_i$

$$\left. \begin{aligned} \{\delta\} &= \begin{bmatrix} \omega \\ \theta_x \\ \theta_y \end{bmatrix} = \begin{bmatrix} \sum N_i \omega_i \\ \sum N_i \theta_{xi} \\ \sum N_i \theta_{yi} \end{bmatrix} = \sum [N_i] \{\delta_i\} \\ \text{단, } [N] &= [N_1, N_2, \dots, N_8] \end{aligned} \right\} \quad (2)$$

$$[N_i] = \begin{bmatrix} 1 & 0 & 0 \\ 0 & 1 & 0 \\ 0 & 0 & 1 \end{bmatrix}$$

$$\{\delta_i\} = [\omega_1, \theta_{1x}, \theta_{1y}, \dots, \omega_8, \theta_{8x}, \theta_{8y}]^T$$

$$x = \sum N_i x_i, \quad y = \sum N_i y_i \quad (3)$$

일단 변위함수가 구해지면 그림 3과 같은 板의 要素剛度매트릭스는 일반화되어 있는 公式을 쓸 수 있다. 즉,

$$[K_e] = \iiint [B]^T [D] [B] dx dy dz \quad (4)$$

식(4)에서 strain matrix  $[B]$ 는 變形度  $[\epsilon]$ 의 定義에 따라서 정해진다.

$$[\epsilon] = [\chi_{xx}, \chi_{yy}, \chi_{xy}, -\phi_x, -\phi_y]^T$$

$$\left. \begin{aligned} \text{단, } \chi_{xx} &= -\partial \theta_x / \partial x \\ \chi_{yy} &= -\partial \theta_y / \partial y \\ \chi_{xy} &= -(\partial \theta_x / \partial y + \partial \theta_y / \partial x) \\ -\phi_x &= \partial w / \partial x - \theta_x \\ -\phi_y &= \partial w / \partial y - \theta_y \end{aligned} \right\} \quad (5)$$

식 (3)을 편미분하여 식 (5)를 정리한다.

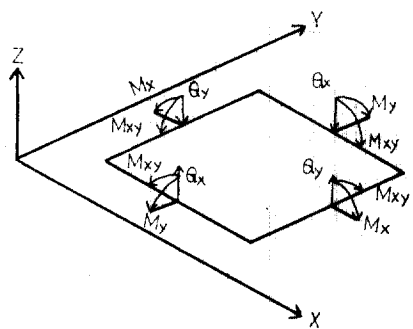
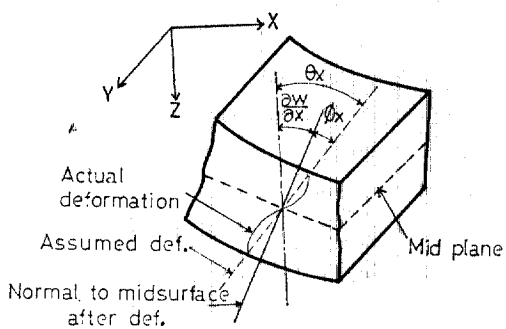


그림 3. Mindlin plate

$$[\varepsilon] = \sum_{i=1}^8 \begin{pmatrix} 0 & -\partial N_i / \partial x & 0 \\ 0 & 0 & -\partial N_i / \partial y \\ 0 & -\partial N_i / \partial y & -\partial N_i / \partial x \\ \partial N_i / \partial x - N_i & 0 & 0 \\ \partial N_i / \partial y & 0 & -N_i \end{pmatrix} \begin{pmatrix} w_i \\ \theta_{xi} \\ \theta_{yi} \end{pmatrix} \quad (6)$$

$$= \sum [B_i] \{\delta\}$$

$$= [B] \{\delta\}$$

단,  $[B] = [B_1, B_2, \dots, B_8]$

$[B]$ 에 있는  $\partial/\partial x$ ,  $\partial/\partial y$  항은  $\partial/\partial \xi$ ,  $\partial/\partial \eta$  항으로 바꾸어야 한다.

$$\begin{aligned} \partial N_i / \partial x &= [J]^{-1} (\partial N_i / \partial \xi) \\ \partial N_i / \partial y &= [J]^{-1} (\partial N_i / \partial \eta) \end{aligned} \quad (7)$$

단,  $[J] = \begin{bmatrix} \partial x / \partial \xi & \partial y / \partial \xi \\ \partial x / \partial \eta & \partial y / \partial \eta \end{bmatrix}$

$$\partial x / \partial \xi = \sum (\partial N_i / \partial \xi) x_i, \dots$$

$[D]$ 는 平板의 elastic matrix이다.

$$[D] = \begin{bmatrix} [D_f] & 0 \\ 0 & [D_s] \end{bmatrix}$$

여기서,

$$[D_f] = \frac{Et^3}{12(1-\nu^2)} \begin{bmatrix} 1 & \nu & 0 \\ \nu & 1 & 0 \\ 0 & 0 & \frac{1-\nu}{2} \end{bmatrix} \quad (8)$$

$$[D_s] = \frac{Et}{2.4(1+\nu)} \begin{bmatrix} 1 & 0 \\ 0 & 1 \end{bmatrix}$$

이상과 같이 식 (4)는

$$[K_p] = \int_{-1}^1 \int_{-1}^1 [B]^T [D] [B] t |[J]| d\xi d\eta \quad (9)$$

와 같이 변환되며 이를 全要素에 대해 組合하면 平板의 剛度매트릭스  $[K_p]$ 를 구할 수 있고, 外的節點荷重을  $\{F\}$ 라 할 때 다음의 剛度方程式을 얻는다.

$$\{F\} = [K_p] \{\delta\} \quad (10)$$

Gaussian point에서의 應力  $[\sigma]$ 는

$$[\sigma] = [M_x, M_y, M_{xy}, Q_x, Q_y]^T$$

$$= [D] [\varepsilon]$$

$$= [D] [B] \{\delta\}$$

이다.

## 2.2 地盤모델

彈性地盤上의 平板에 하중이 작용할 때 지반의 變位는 지반과 평판의 접촉면에서만 일어나고 그 면에서의 수직변위는 접촉압력에 比例한다고 보는 그림 4와 같은 모델을 Winkler 地盤이라 한다.

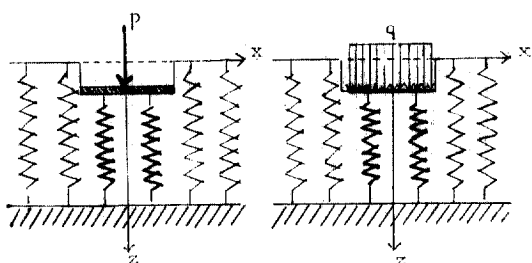


그림 4. Displacement of Winkler model

面積 Area 상의 집중하중  $P$  혹은 등분포하중  $q$ 에 의해서 Area 내의 범위에서 均等한沈下가 일어날 때 그 침하량  $W$ 는 다음의 관계가 있다.

$$\left. \begin{aligned} q(x, y) \\ P(x, y) / \text{Area} \end{aligned} \right\} = k W(x, y) \quad (12)$$

여기서  $k$ 는 地盤反力係數로<sup>(8)</sup> 平板載荷試驗 등으로 구한다.

기초저면이 지반과 분리되지 않고 저면의 침

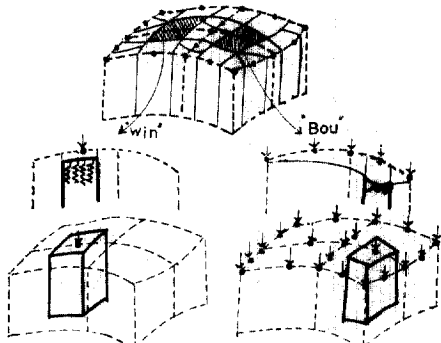


그림 5. Pedestal element of soil medium

하량이 하중 작용점에서만 하중에 독립적으로 비례한다고 할 때 그림 1의 지반을 그림 5와 같이 절점을 중심으로 절점수 만큼의 柱狀體要 素로 분리해서 생각할 수 있으며, 지반의 한 절점  $i$ 를 중심으로 임의의 形狀으로 分割된 地盤 要素의 면적  $A_i$ 에 집중하중  $p_i$  혹은 등분포하중  $q_i$ 가 작용할 때 변위  $w_i$ 는

$$\left. \begin{aligned} q_i(x, y) \\ p_i(x, y)/A_i \end{aligned} \right\} = k w_i(x, y) \quad (13)$$

이며, 여기서  $A_i$ 를  $i$ 點 주위 지반의 影響領域(influence area) 혹은 支配領域이라고 한다.

한편, 지반을 彈性, 均質 및 等方性이라고 가정한 Boussinesq 지반에서는<sup>(2)</sup>, 그림 5의 한 주상체요소에 대해서 그림 6과 같이 그 요소내의  $i$ 점에 작용하는 집중하중  $p_i$ 에 인한  $r$ 만큼 떨어진  $j$ 점에서의 변위  $w_{ji}$ 는 다음과 같다. 즉,

$$\left. \begin{aligned} w_{ji} &= \frac{1-\nu_i^2}{\pi E_s} \cdot \frac{p_i}{r} \\ &= \beta \cdot \frac{p_i}{r} \end{aligned} \right\} \quad (14)$$

$$\text{단, } \beta = \frac{1-\nu_i^2}{\pi E_s}$$

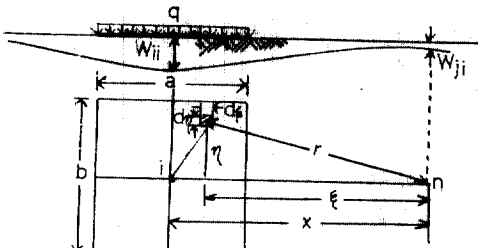


그림 6. Isotropic elastic half-space

여기서  $E_s$ ,  $\nu_i$ 는 지반의 彈性係數 및 포아송비이고  $\beta$ 는 흙의 성질에 따라 그 값이 정해지며  $\beta/r$ 을 柔軟度라 한다.

그런데  $i$ 점에 작용하는 하중으로 因해서  $i$ 점 자신에 생기는 변위는  $r=0$ 이 되어 식 (14)의 값이 無限大로 되어 모순점이 생기므로, 이 경우에는 등가절점하중이 한 절점 주위의 영향영역 요소에  $p_i/A_i$ 의 등분포하중으로 작용한다고 가정하고 그 영역의 요소면적에 대해 식 (14)를 積分함으로서 변위를 구한다. 즉,

$$\left. \begin{aligned} w_{ii} &= \int_{A_i} \frac{1-\nu_i^2}{\pi E_s} \cdot \frac{p_i}{A_i r} dA_i \\ &= \beta p_i \cdot \frac{1}{A_i} \int_{A_i} \frac{dA_i}{r} \\ &= \beta f_{ii} p_i \end{aligned} \right\} \quad (15)$$

여기서

$$f_{ii} = \frac{1}{A_i} \int_{A_i} \frac{dA_i}{r} \quad (16)$$

으로서 한 절점하중이 영향을 미치는 지반요소의 면적과 요소내 미소면적과 절점간의 거리의 項으로 나타내어 지는 影響係數(Influence factor)라 한다.

### 3. 影響領域

8 절점의 Isoparametric 요소는 한 절점의 영향영역을 4 절점요소처럼<sup>(5)</sup> 모서리절점의 중간 절점에 의해 사각형으로 분할하기가 어려우므로 등가절점하중의 分布 범위를 그림 7에서처럼 요소를  $\xi, \eta$  좌표상으로 9等分하여 같은 면적의 矩形領域  $a_i \times b_i$ 로 나타내거나, 中央部分을 제외한 면적은 그 속에 포함되는 절점에 배당하며 중앙부분은 8 절점에 等分配하는 방법 등을 생

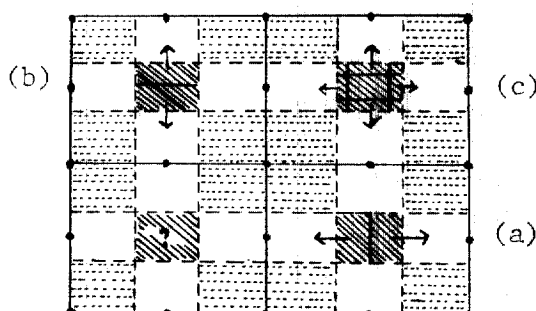


그림 7. Distribution of influence area

각할 수 있다. 즉,

$$A_i = A_{i0} + \sum_1^n \frac{A \cdot n}{8} \quad (17)$$

단,  $A_{i0}$ :  $i$  절점에 직접 배당되는 면적

$A_m$ :  $i$  절점과 관련있는 중앙부분 면적

$n$ : 절점의 위치에 따라 1, 2, 4

$a_i, b_i$ : 영 향영역의 긴변 및 짧은변 길이

그러나 식 (15)의 적분은 임의의 曲線境界를 갖는 영역에 대한 적분이므로 수치적분에 의존하는 바<sup>(9)</sup>, 한 지반요소의 영역  $e$  내에서는 反力分布가 均等하다고 가정하여 영역내의 등분포하중과 等價인 節點力系를 假想일의 原理에 의해 구한다. 즉,

$$\delta \{w_i\} \{p^e\} = \int \delta w^e q^e dA \quad (19)$$

여기서  $\{w_i\}$ 는 지반요소의 돌레에 있는 절점의 변위이고,  $\{p^e\}$ 는 등가절점역계이고,  $w^e$ 는  $e$ 내의 임의 절점의 假想變位이며,  $q^e$ 는 등분포하중이다.

식 (2)에서

$$w^e = \sum_{i=1}^8 N_i w_i^e = \{w_i\}^T [N]^T \quad (19)$$

이면, 식 (19)를 식 (18)에 대입하면

$$\{p^e\} = q^e \int_A [N]^T dA \quad (20)$$

가 되며 식 (20)을 절점별로 表示하면

$$p_i^e = q^e \int_A N_i dA \quad (i=1, 2, \dots, 8) \quad (21)$$

이 고,  $q^e$ 가 등분포하중이므로 한 절점의 등가절점하중  $p_i^e$ 가 分配되는 影響領域  $A_i^e$ 는

$$A_i^e = A^e \cdot \frac{\int_A N_i dA}{\sum \int_A N_i dA} \quad (22)$$

$$= A^e \cdot \frac{\int_A N_i dA}{\int_A (\sum N_i) dA}$$

이면  $\sum_{i=1}^8 N_i = 1$  이므로 식 (22)는

$$A_i^e = \int_A N_i dA \quad (23)$$

가 된다. 따라서 절점  $i$ 에 作用하는  $p_i^e$ 의 영향 영역은  $i$ 점을 둘러싸고 있는 각 요소의 면적  $A_i^e$ 를 모은 것이라고 할 수 있고, 다시  $\sum_i A_i^e$ 에  $P_i$

가 등분포하는 것이라고 다시 가정하면  $A_i$ 는

$$A_i = \sum \int_A N_i dA = \sum \int_{-1}^1 \int_{-1}^1 N_i(\xi, \eta) \det[J] d\xi d\eta$$

이다. (24)

한편 식 (19) 및 (15)에서

$$w = \sum N_i w_i$$

$$\begin{aligned} &= \beta \cdot p_i \sum \frac{1}{A_i} \int_A \frac{N_i dA}{r} \\ &= \beta \cdot p_i \cdot f_{ii(\text{num})} \end{aligned} \quad \left. \right\} (25)$$

가 되며 식 (21), (24) 및 (25)는 共通點이 있어서 이미 發表된 등분포하중을 등가절점하중으로 바꾸는 서브루우턴 프로그램을 利用할 수 있다.

이렇게 하여 구해진 영역  $A_i$ 는 그림 6에서 보는 바와 같이  $a \times b$  크기의 矩形領域으로 생각할 때, 그림 7의 配分方法 等에 따라 後述하는 計算值를 비교하면  $a/b$  比에 크게 영향을 받지 않음을 볼 때<sup>(9)</sup>  $a/b=1$  혹은  $4/3$ 으로 생각하거나 要素의 Gaussian point 좌표  $x_{GP(i)}, y_{GP(i)}$ 의 이웃한 점을 연결한 線의  $x, y$  좌표에 대한 길이의 합의 比로서 表示하기로 한다.

$$\begin{aligned} AA &= \text{MAX}(|\sum(X_{GP(i)} - X_{GP(j)})|, \\ &\quad |\sum(Y_{GP(i)} - Y_{GP(j)})|) \\ BB &= \text{MIN}(|\sum(X_{GP(i)} - X_{GP(j)})|, \\ &\quad |\sum(Y_{GP(i)} - Y_{GP(j)})|) \\ \frac{a}{b} &= AA/BB \end{aligned} \quad \left. \right\} (26)$$

따라서 影響係數  $f_{ii}$ 의 식 (16)은

$$f_{ii} = \frac{2}{a \cdot b} \int_{x=0}^{x=a/2} \int_{y=0}^{y=b/2} \frac{dxdy}{\sqrt{x^2+y^2}} \quad (27)$$

가 되며  $f_{ii}$ 와 관련해서 아래와 같이 다른 영향 계수  $I_w, \alpha, S_i$ 를 보이고 있다.

Steinbrenner는<sup>(8)</sup> 여러가지 형태의 기초에 대한 영향계수  $I_w$ 值를 表1과 같이 提示하였으며 특히 矩形地盤의 모서리 部分에 對한  $I_w$ 를 다음과 같이 나타내었다.

$$\begin{aligned} I_w &= \frac{1}{\pi} \left\{ \frac{a}{b} \ln \left[ \frac{1 + \sqrt{(a/b)^2 + 1}}{\sqrt{(a/b)^2 + 1}} \right] + \ln \left[ \frac{a}{b} + \sqrt{\left( \frac{a}{b} \right)^2 + 1} \right] \right\} (28) \\ f_{ii} &= \frac{\pi I_w}{a} \end{aligned}$$

表 1. Influence factor Iw

Shape	Flexible			Rigid
	Center	Corner	Average	
Circle	1.0	0.64	0.85	0.88
Square	1.12	0.56	0.95	0.82
Rectangle 1.5 $\left(\frac{a}{b}\right)$	1.36	0.68	1.15	1.06
2	1.53	0.77	1.30	1.20
5	2.10	1.05	1.83	1.70
10	2.54	1.27	2.25	2.10
100	4.01	2.00	3.69	3.40

趙·嚴은<sup>(8,10)</sup> 영향계수  $\alpha_i$ 를 提示한 바

$$\alpha_i = \frac{1}{b} \left[ a \log \frac{\sqrt{a^2+b^2+b}}{\sqrt{a^2+b^2-b}} + 4b \log \frac{\sqrt{a^2+b^2+b} + \sqrt{a^2+b^2-b}}{\sqrt{2b}} \right] \quad (29)$$

$$f_{ii} = \alpha_i/a$$

와 같으며, Timoshenko 는<sup>(11)</sup> 또 다른 영향계수  $S_i$ 를 提示하였다. 즉,

$$S_i = 2 \frac{a}{b} \left[ \ln \left( \frac{b}{a} \right) + \frac{b}{a} \ln \left[ \frac{a}{b} + \left( \frac{a^2}{b} \right) + 1 \right]^{1/2} + \ln \left[ 1 + \left( \frac{a}{b} \right)^2 + 1 \right]^{1/2} \right] \quad (30)$$

$$f_{ii} = S_i/a$$

와 같으며, 여러가지 係數에 대한 비교는 例에서 보이기로 한다.

#### 4. 平板과 地盤의 連結

앞에서 다른 地盤모델에 근거하여서 地盤의 剛度매트릭스를 구하고 여기에 平板의 剛板매트릭스를 組合하고 地盤上의 平板의 평형방정식을 유도하고자 한다.

Winkler 지반에 대해서는 식 (13)을 모든 절점에 대해서 생각하면

$$\{p\} = k[A_i] \{w\} = [K_w'] \{w\} \quad (31)$$

와 같고 여기서  $[K_w']$ 는 Winkler 지반의 강도매트릭스로서 對角매트릭스이다. 즉,

$$[K_w'] = k[A_i] = k \begin{vmatrix} A_1 & 0 & 0 & \dots \\ 0 & A_2 & 0 & \dots \\ 0 & 0 & A_3 & \dots \\ \dots & \dots & \dots & \dots \end{vmatrix} \quad (32)$$

Boussinesq 지반에 대해서는 임의의  $i$  절점의 침하량은  $i$  점 의의 작용하중으로 인한 치점량식 (14)의 積積值에  $i$  점에서의 하중으로 인한 값식 (15)를 합한 것이다. 즉,

$$w_i = w_{ii} + \sum_{j=1}^n w_{ij} = \beta \cdot f_{ii} p_i + \beta \sum_{j=1}^n \frac{p_j}{r_{ij}} \quad (33)$$

이며 전절점  $n$ 개에 대한 식 (33)을 매트릭스형태로 나타내면

$$\begin{pmatrix} w_1 \\ w_2 \\ w_3 \\ \vdots \end{pmatrix} = \beta \begin{pmatrix} f_{11} & \frac{1}{r_{21}} & \frac{1}{r_{31}} & \dots \\ \frac{1}{r_{12}} & f_{22} & \frac{1}{r_{32}} & \dots \\ \frac{1}{r_{13}} & \frac{1}{r_{23}} & f_{33} & \dots \\ \dots & \dots & \dots & \ddots \end{pmatrix} \begin{pmatrix} p_1 \\ p_2 \\ p_3 \\ \vdots \end{pmatrix} \quad (34)$$

즉,  $\{w\} = [F_f] \{p\}$

로서  $[F_f]$ 는 지반의 柔軟度매트릭스로서 대칭이지만 帶狀이 아니고 꽉 찬 매트릭스이다.

식 (34)를  $\{p\}$ 에 대해서 展開하면

$$\{p\} = [F_f]^{-1} \{w\} = [K_B'] \{w\} \quad (35)$$

로서  $[K_B']$ 는  $[F_f]$ 의 逆매트릭스이다.

지반의 작용하중 및 변위가 각각  $p, \delta$ 이고 板의 하중벡터 및 변위벡터가  $F_f = [p, M_x, M_y]^T$ 와  $\{\delta\} = [w, \theta_x, \theta_y]^T$ 임을 고려하면 식 (31) 및 (35)는 平板에 對應하도록  $3n \times 3n$  크기로 확장해서

$$\{F\} = [K_w] \{\delta\} \quad (36)$$

$$\{F\} = [K_B] \{p\} \quad (37)$$

가 되며  $M_x, M_y$  및  $\theta_x, \theta_y$ 값은 0이다.

平板의 절점에 作用하는 하중은 外的荷重  $\{F\}$ 이지만 地盤에 놓여 있는 平板임을 고려하면 效果的으로 미치는 Winkler 지반 基礎의 外力은<sup>(2,5)</sup>  $\{F\} - \{F_w\}$ 가 되며 따라서 식 (10)은

$$\{F\} - \{F_w\} = [K_p] \{\delta\} \quad (38)$$

가 되고 여기에 식 (36)을 代入하면

$$\{F\} = [K_w] \{\delta\} + [K_p] \{\delta\} = ([K_w] + [K_p]) \{\delta\} = [K_{w+p}] \{\delta\} \quad (39)$$

가 되며,  $[K_p]$ 의 對角線에  $ka/b$ 值를 2칸씩 걸러서 중첩한 Winkler 지반상의 平板의 剛度매트릭스  $[K_{w+p}]$ 는 帶狀매트릭스이므로 band method

를<sup>(12)</sup> 適用하여서 식 (39)를 풀 수 있다.

마찬가지로 Boussinesq 지반에 대해서도

$$\left. \begin{aligned} \{F\} &= ([K_B] + [K_p]) \{\delta\} \\ &= [K_{B-p}] \{\delta\} \end{aligned} \right\} (40)$$

로 나타내어지며 Boussinesq 지반상의平板의 剛度 매트릭스  $[K_{B-p}]$ 는 帶狀의  $[K_p]$ 보다 큰  $3n \times 3n$  크기의 꽉 찬 매트릭스가 되어서 特異한 band method의 적용이 되어지며 따라서 강도 매트릭스內의 많은 0項을 消去하는 技法을<sup>(13)</sup> 사용해야 하겠으며, 變位가 구해지면 應力은 식 (11)에서와 같이 구할 수 있다.

## 5. 프로그램의 構成 및 計算例

Hinton과 Owen이 開發한 平板의 解析 프로그램을<sup>(7)</sup> 根幹으로 하여, 彈性地盤上의 平盤解析을 앞에서 論한 理論에 따라 이미 발표한 MATK 프로그램을 영향영역의 自動配分 및 여러 가지 영향계수에 對한 Boussinesq 지반상의 平板解析의 비교분석을 할 수 있는 프로그램 NMATL로 發展시켰는 바 이 프로그램의 General Flow

Chart는 그림 8과 같으며, 여기에서 서브루틴 중에서  $\square$ 表示는 Hinton Owen의 프로그램과 거의 일치되며  $\circlearrowleft$ 는 다소 개편한 것,  $\square$ 는 다른 기준의 프로그램을 이용한 것이며,  $\square$ 는 이번에 개발한 것을 뜻한다.

프로그램 NMATL를 사용하여 그림 9와 같은  $10 \text{ ft} \times 10 \text{ ft}$ (두께 2 ft)의 矩形基盤과 半徑 20 ft(두께 1 ft)의 圓形基盤의 여러가지 計算을 하고자 하는바, 그 전에 두께 40 mm의  $1.05 \times 1.05 \text{ m}$ 의 矩形인 鋼板에 對해 平板載荷試驗을<sup>(14)</sup> 하여서 地盤의 反力係數  $k$ 를 荷重強度와 沈下量 사이의 關係曲線에서 구하고, 같은 형상의  $70 \times 70 \text{ cm}$  板에 對해서 試驗하여 表 1의  $I_w$ 와 식 (28)과 식 (15)에서  $qb$ 와 沈下의 관계 곡선을 그릴 때 그 기울기가  $(1-\nu^2)I_w/E$ , 이며 여기서  $E$ 를 구한다<sup>(18)</sup>.

以後의 여러 計算에 있어서 다른 言及이 없으면 地盤에서  $k=500 \text{ ksf}$ ,  $\nu=0.25$ ,  $E=1,440 \text{ ksf}$ 로, 平板은  $\nu=0.3$ ,  $E=468,000 \text{ ksf}$ 로, 作用荷重은 中央點에 500 kip가 加해지는 것으로 하겠으며, Winkler 地盤을 "Win", Boussinesq 지반을 "Bou"로 略해 表示한다.

### (a) 影響領域의 幾何學的인 分配

영향영역을 數值的으로 配分하지 않고 그림 7에서와 같이 기하학적으로 組成한 크기의  $a \times b$ 인 矩形으로 하여서 프로그램 MATK에서 절점 입력자료에 直접 두 번의 길이를 넣어서 계산한

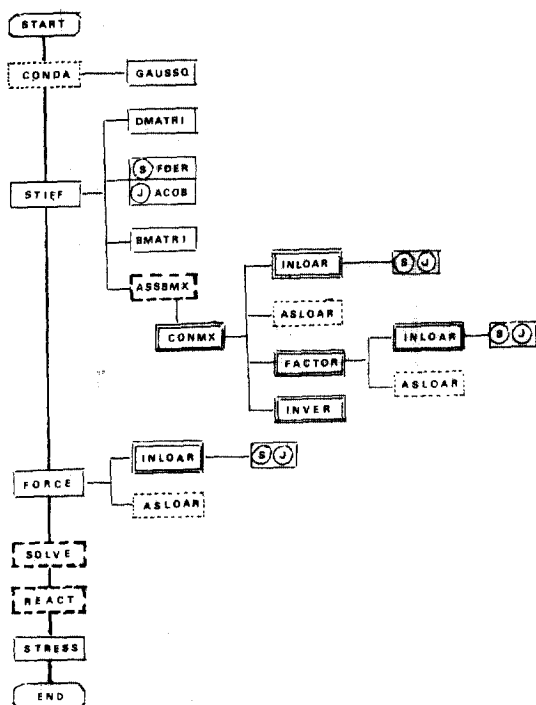


그림 8. General flow chart

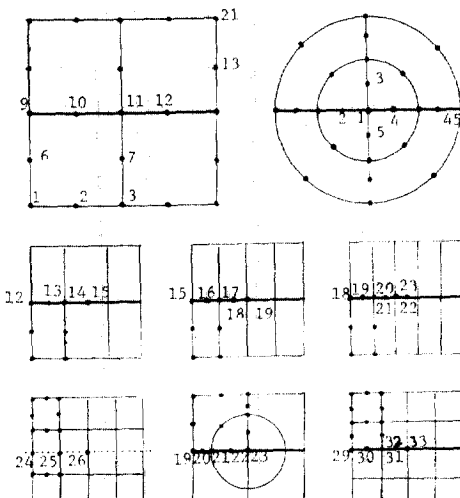


그림 9. Node numbering

값이 表 2에 있으며 여기서 配分形態에 無關하게 變位가 같음을 알 수 있다.

#### (e) 影響領域의 數值的인 分配

영향영역을 프로그램 NMAT를 이용하여 수치적으로 배분하여 계산한 변위가 역시 表 2에 나타나 있다.

表 2에서 "Win"에 대해 幾何學的, 數值的인 分配法에 관계없이 變位가 일치함을 알 수 있으며, "Bou"에 대해서도  $I_w$  値量 基準으로 한 위 方法과  $a/b=1.33$  및 식 (26)에 의한  $a/b$  比에 대한 變位가 같음을 알 수 있으나, 각 영향계수에 대한 解析方法에서는  $I_w$  와  $f_{num}$ 에 대한 變位가 비슷하며  $S_i$  와  $\alpha$ 에 대한 값이 다소 큼을 알았다.

#### (f) 地盤狀態에 따른 比較

土性別  $k$  값 및  $E$ , 値은<sup>(8,15)</sup> 그 變化의 幅이 크며 實驗으로도 그 값이 一定하지 않는 等의 어려움이 있어서 表 3에 나타난  $k$  및  $E$ , 的 地盤狀態에 따른 變位의 범위를 그림 10에서 볼 수 있다.

여기에서 우리는 "Win"의  $k$  값과 "Bou"의  $E$ , 値의 有關性을 찾아보고자 하는 바<sup>(16,17)</sup>, 두 常數의 相異性으로 일 반적인 關係式의 유도가 어려운 바, 그림 10에서 처점이  $k$  및  $E$ , 値에 一次的으로 比例하고  $E=1,440$ 의 변위에 對應되

表 2. Disp. distribution type and influence factor

		Node 9	Node 10	Node 11	비 고
Win	MAT-K	그림 a	0.00961	0.01062	0.01168
		그림 b	0.00971	0.01063	0.01168
		그림 c	0.00965	0.01062	0.01168
	NAMT		0.00963	0.01049	0.01157
	MAT-K	그림 a	0.02330	0.02459	0.02587 $I_w$ 이 용
		그림 b	0.02339	0.02461	0.02587
Bou	MAT-K	그림 c	0.02336	0.02461	0.02589
	NAM-T	$I_w^*$	0.02113	0.02235	0.02350 * : $\frac{a}{b} = 1.333$
		$I_w$	0.02117	0.02239	0.02354
		$\alpha_i^*$	0.02755	0.02860	0.02966
		$\alpha$	0.02763	0.02868	0.02974
		$S_i^*$	0.02412	0.02525	0.02634
		$S_i$	0.02473	0.02584	0.02693
		$f_{num}$	0.02001	0.02137	0.02258

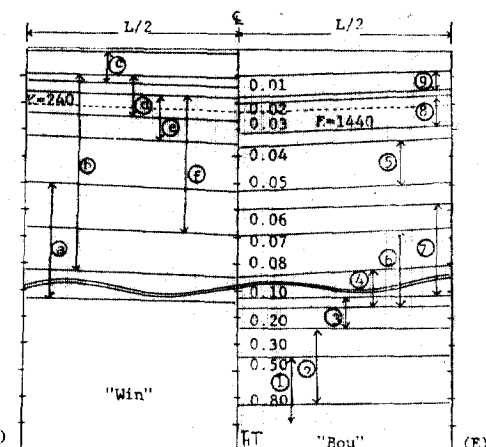


그림 10. Disp. depending on type of soil

는  $k$  値가 240임을 볼 때 본 프로그램에서 아래의 관계식을 이끌 수 있다. 즉,

$$k = \frac{E}{6.4(1-\nu_s^2)} \quad (41)$$

위 식은 平板의 규격등에 관계되는 식으로 일반적인 地盤에 적용되는 式이라기 보다 본 프로그램을 수행할 때 "Bou"의 컴퓨터 사용량 等의 과다로 인한 많은 절점을 가진 해석에서는  $E$ ,에 對應하는  $k$  値을 구해서 "Bou"의 치침을 간접으로 구하는 利點이 있다.

表 3. Typical range of values for  $k$  &  $E$ .

Win	Type of soil	$k$ (kcf)
a	Loose sand	30~100
b	Medium sand	65~500
c	Dense sand	400~800
d	Clayey sand(medium)	200~500
e	Silty sand(medium)	150~300
f	Clayey soil	75~300

Bou	Type of soil	$E$ , (psi)
1	Very soft clay	50~400
2	Soft clay	250~600
3	Medium clay	600~1,200
4	Hard clay	1,000~2,500
5	Sandy clay	4,000~6,000
6	Silty sand	1,000~3,000
7	Loose sand	1,500~3,500
8	Dense sand	7,000~12,000
9	Dense sand and gravel	14,000~28,000

表 4. Disp. -number of elements

	4 el.	6 el.	8 el.	10 el.	12 el.	12 el.-R	16 el.
Win	(9) 0.9631E-02 (10) 0.1049E-01 (11) 0.1157E-01	(12) 0.9633E-02 (13) 0.1011E-01 (14) 0.1070E-01	(15) 0.9736E-02 (16) 0.9998E-02 (17) 0.1057E-01	(18) 0.9932E-02 (19) 0.1022E-01 (20) 0.1067E-01	(21) 0.9696E-02 (22) 0.9650E-02 (23) 0.1038E-01	(24) 0.9712E-02 (25) 0.9938E-02 (26) 0.1019E-01	(27) 0.9696E-02 (28) 0.1040E-01 (29) 0.1099E-01
Bou ( $I_w$ )	(30) 0.2001E-01 (31) 0.2137E-01 (32) 0.2258E-01	(33) 0.2202E-01 (34) 0.2264E-01 (35) 0.2395E-01	(36) 0.2253E-01 (37) 0.2291E-01 (38) 0.2335E-01	(39) 0.2242E-01 (40) 0.2283E-01 (41) 0.2340E-01	(42) 0.2324E-01 (43) 0.2430E-01 (44) 0.2398E-01	(45) 0.2421E-01 (46) 0.2455E-01 (47) 0.2489E-01	(48) 0.2373E-01 (49) 0.2421E-01 (50) 0.2475E-01
Bou ( $f_{num}$ )	(51) 0.2117E-01 (52) 0.2239E-01 (53) 0.2454E-01	(54) 0.2038E-01 (55) 0.2160E-01 (56) 0.2301E-01	(57) 0.2139E-01 (58) 0.2186E-01 (59) 0.2397E-01	(60) 0.2121E-01 (61) 0.2160E-01 (62) 0.2200E-01	(63) 0.2224E-01 (64) 0.2343E-01 (65) 0.2269E-01	(66) 0.2390E-01 (67) 0.2433E-01 (68) 0.2454E-01	(69) 0.2287E-01 (70) 0.2338E-01 (71) 0.2395E-01

## (a) 要素數에 따른 比較

그림 9에서 볼 수 있는 바와 이 같은 크기의 基礎의 要素數를 變化시켰을 때의 中心線上의 치점이 表 4에 나타나 있는 바 거의 일치함을 알 수 있으며 이는 Isoparametric 要素를 사용한 点 등의 利點때문이다.

## (b) 圓形基礎의 解析

그림 9와 같은 圆形基礎<sup>(11,18)</sup> ( $E=43,2000\text{ksf}$ ,

$\nu=0.2$ ,  $E_s=2,000\text{ksf}$ ,  $\nu_s=0.3$ )의 中央點에 集中荷重이 作用할 때, 偏心된 한 點에 集中荷重이 作用할 때와 圓環荷重이 作用할 때에 여러가지 영향계수를 이용했을 때의 “Bou”的 치점이 그림 11에 나타나 있는 바  $I_w$ ,  $f_{num}$ 에 對한 값이  $S_i$ 에 대한 값보다 다소 작은 것을 지적할 수 있겠다.

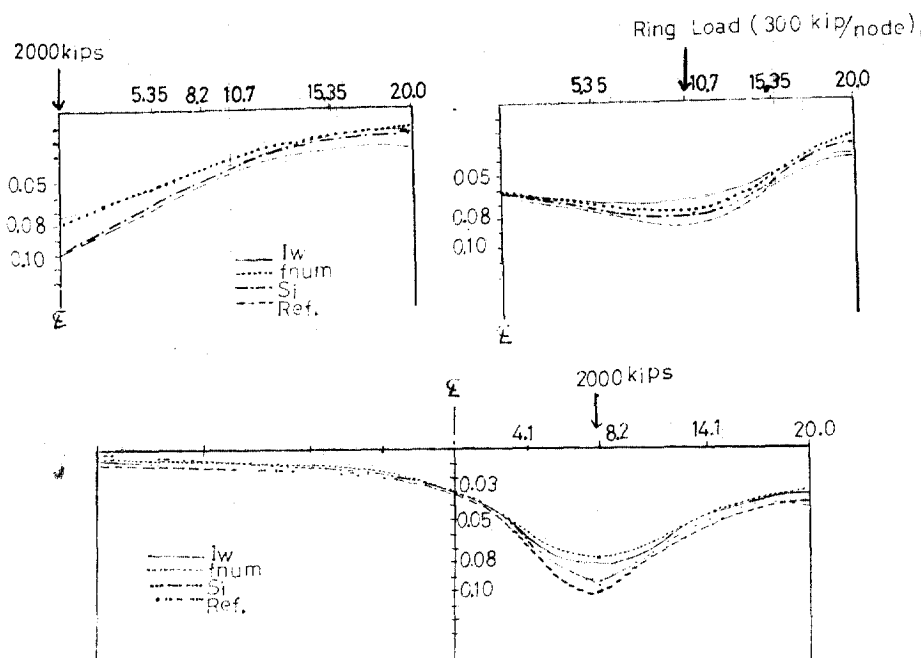


그림 11. Disp. of circular mat

## 6. 結 論

(1) 彈性地盤上의 平板구조물에 對한 解析을 Winkler 地盤 및 Boussinesq 地盤 모형을 通하여서 8-Node Isoparametric 要素를 使用한 有限要素法을 用는 理論體系를 發展시키고 컴퓨터 프로그램 MATK 를 擢充하여서 NMAT 를 만들었다.

(2) 地盤에서의 節點力의 影響領域의 數值의 인 自動配分方法을 提示하고, 幾何學的인 配分方法 및 既發表된 影響係數  $I_n$ ,  $a$ ,  $S_i$  를 利用한 方法과 比較를 하고, 그 結果 既存의 解析方法 보다도 더 効果的임을 알 수 있었다.

(3) 이제까지 發表된 論文은 두 모델의 理論體系에 對해서 論했거나 Winkler 地盤에 대한 電算解만을 發表하였으나 여기서는 Boussinesq 地盤에 대한 電算解를 밝혔으며, 後者에서 컴퓨터 記憶容量의 過多로 因해서 解析의 어려움이 있을 때  $k = \frac{E}{6.4(1-\nu^2)}$  値를 前者에 入力하여 本 프로그램을 代置해서 利用할 수도 있다.

(4) 要素數를 變化시켜도 中心線上의 沈下量이 같았으며 圓形基礎와 같이 形狀이 바뀌어도 適切한 解를 얻었으나, 같은 形態의 地盤이라도 흙의 特性을 나타내는 地盤反力係數 및 彈性係數의 選擇이 모델화 및 解析方法에 끽지 않게 重要함으로 適切한 係數의 使用이 要求된다.

## 謝 辭

本研究는 韓國科學財團의 研究費에 의해 이루어진 바 財團當局에 真心으로 感謝를 드리오며, 또 研究期間동안 많은 助言을 해 주신 釜山大 趙顯榮 教授께도 謝意를 表하는 바이다.

## 참 고 문 헌

1. 김성득, 지반-기초-구조 상호영향의 모델화에 관한 연구, 울산대 연구논문집, 제14권 1호, pp. 99 ~112(1983).
2. A.P.S. Selvadurai, *Elastic Analysis of Soil-*

*Foundation Interaction*, Elsevier Scientific Publishing Co. pp. 13~21(1979).

3. B. Goschy, *Soil-Foundation-Structure Interaction*, ASCE, ST5, pp. 749~761(1978).
4. Y.K. Cheung and O.C. Zienkiewicz, *Plates and Tanks on Elastic Foundations*, Int. J. Solids Structures, Vol. 4, pp. 451~461(1965).
5. 최창근, 유한요소법 강좌, 대한토목학회지, 제24권 제2호, pp. 27~32(1976).
6. 김성득, 유한요소법에 의한 전면기초의 해석, 부산대 공학석사 학위논문(1981).
7. E. Hinton and D.R.J. Owen, *Finite Element Programming*, Academic Press(1977).
8. J.E. Bowles, *Foundation Analysis and Design*, 2nd ed., Ch. 5, 9, 10, McGraw Hill(1974).
9. 조현영, 탄성지반상에 놓인 판-보 흔의 유한요소법에 의한 해석, 부대구조연구실(1981).
10. 엄체영, 지반과 구조물간의 상호작용을 고려한 압거해석에 관한 연구, 동아대 공학박사 학위논문(1982).
11. A. Banerjee and Z.D. Jankow, *Circular Mats under Arbitrary Loading*, ASCE, ST10, pp. 2133~2145(1975).
12. W. Weaver, *Computer Programs for Structural Analysis*, pp. 8~47, Van Nonstrand Co., (1967).
13. O.C. Zienkiewicz, *The Finite Element Method*, 3rd ed., McGraw Hill (1977).
14. 崔癸軾, 토목재료 시험법과 해설 및 응용, 형설출판사, pp. 486~510(1982).
15. H.F. Winterkorn and H.Y. Fang, *Foundation Engineering Handbook*, V.N.B. Co., pp. 516~518, p. 567(1975).
16. S.P. Timoshenko and S. Woinowsky-Krieger, *Theory of Plates and Shells*, 2nd ed., pp. 259 ~281, McGraw-Hill(1981).
17. I.K. Lee and P.T. Brown, *Structure-Foundation Interaction Analysis*, ASCE, ST11, pp. 2413~2431(1972).
18. R. Bolton, *Stresses in Circular Plates on Elastic Foundations*, ASCE, EM3, pp. 629~640 (1972).

(接受: 1985. 6. 5).